

СИБИРСКИЕ ЭЛЕКТРОННЫЕ  
МАТЕМАТИЧЕСКИЕ ИЗВЕСТИЯ

Siberian Electronic Mathematical Reports

<http://semr.math.nsc.ru>

---

*Том 16, стр. 144–144 (2019)*  
DOI 10.33048/semi.2019.16.xxxУДК 519.61  
MSC 65H10ГЛОБАЛЬНОЕ РЕШЕНИЕ ПОКООРИНАТНО  
МОНОТОННЫХ СИСТЕМ НЕЛИНЕЙНЫХ УРАВНЕНИЙ

Г.В. ГРЕНКИН

ABSTRACT. The paper proposes an algorithm of finding all roots of a system of 3 nonlinear algebraic equations with 3 unknowns that has left-hand sides monotonic in any variable. The algorithm is based on the solution of systems of 2 equations with 2 unknowns at each iteration, and after that it chooses a root with certain index. Thus, the iterative process is subdivided into parts working independently.

**Keywords:** nonlinear equations, global search, numerical method.

## 1. ВВЕДЕНИЕ

Задачи решения систем нелинейных уравнений с покоординатно монотонными функциями встречаются при моделировании процессов, относящихся к распределению ресурсов в системе — зависимость количества ресурсов от мощности каждого источника является монотонной. Постановка задачи мотивирована исследованием вопроса единственности решения обратной задачи для уравнений сложного теплообмена, состоящей в отыскании неизвестных интенсивностей источников тепла по данным суммарного количества энергии в области каждого источника либо в каком-то другом наборе подобластей. Требуется решить систему

$$(1) \quad F_j(x_1, x_2, \dots, x_n) = 0, \quad j = 1, \dots, n$$

с монотонными функциями  $F_j$ , вычисляя функции в серии точек  $\mathbf{x}^k$ . При этом в вычислительный алгоритм должна быть заложена такая логика, которая позволит гарантированно найти все корни системы.

---

GRENKIN, G.V., GLOBAL SOLUTION OF COORDINATE-WISE MONOTONIC SYSTEMS OF NONLINEAR EQUATIONS.

© 2024 Гренкин Г.В.

Поступила 1 января 2015 г., опубликована 31 декабря 2015 г.

Методы решения систем нелинейных уравнений можно разделить на стохастические и детерминированные, причем последние могут гарантировать нахождение корня в выделенной области. Поскольку мы стремимся найти все корни, то отдаем предпочтение детерминированным алгоритмам. Например, в случае монотонного отображения метод Ньютона дает гарантированную монотонную сходимость к единственному корню системы [1], поэтому одним из способов построения алгоритма может служить построение последовательности монотонных приближений, что, однако, работает в двумерном случае, но уже в трехмерном случае затруднительно даже для частично (покоординатно) монотонного отображения. Другой подход состоит в сведении системы уравнений к задаче наименьших квадратов [2]. Наконец, интервальные методы [3] заключаются в последовательном уменьшении области, в которой может находиться корень системы. В работе [4] для полного решения кубической системы  $3 \times 3$  применялась нейронная сеть. В [5] корни нелинейной системы находятся последовательно друг за другом при помощи локального поиска.

В настоящей работе предлагается алгоритм, основанный на следующей идее. Для решения системы из  $n$  уравнений с  $n$  неизвестными предлагается сделать такой круг: зафиксировать по очереди каждую переменную и на каждом шаге улучшить текущее решение переопределенной системы из  $n$  уравнений с  $(n - 1)$  неизвестными — для этого запустить еще один, внутренний, круг: выбрать  $(n - 1)$  уравнений из  $n$  и найти решение этой полученной системы после одного круга такого же  $(n - 1)$ -мерного алгоритма.

## 2. ЧИСЛЕННЫЙ МЕТОД

Обсудим гарантирующие полный поиск способы решения системы (1) при  $n = 3$ . Один из способов решения задачи — метод ветвей и границ [3, с. 307], который берет прямоугольную область, разбивает ее на 8 частей и выбрасывает из рассмотрения те из них, на которых хотя бы одна из функций  $F_j$  сохраняет знак. По-видимому, данный алгоритм потребует слишком много действий за счет большого числа не отбрасываемых частей.

Еще один способ, претендующий на надежность — метод наименьших квадратов, который сводит решение системы к минимизации целевой функции  $J(\mathbf{x}) = \sum_{j=1}^n F_j^2(\mathbf{x})$ . Можно запустить из всех углов большого параллелепипеда алгоритм градиентного спуска и затем вырезать из этого параллелепипеда меньший параллелепипед, углами которого являются начальная и конечная точки градиентного метода. Это связано с предположением, что конечная точка с большей разницей в значении целевой функции должна находиться на большем расстоянии от начальной точки — если бы внутри параллелепипеда находилась точка с меньшим значением целевой функции, то расстояние до нее от угла параллелепипеда ожидалось бы больше, чем до дальнего угла параллелепипеда, а это не так. Итак, недостаток этого метода — некоторая неуверенность в нахождении всех корней.

Для решения системы из трех уравнений с покоординатно монотонными функциями трех переменных предлагается следующий метод. Зафиксируем начальное приближение  $(x_0, y_0, z_0)$  и проведем через эту точку плоскости, параллельные координатным плоскостям, и рассмотрим линии нулевого уровня  $\{F_j = 0\}$  в сечениях  $xy$ ,  $yz$  и  $zx$ . В каждом таком сечении найдем одну из

координат как одну из точек попарного пересечения  $i$ -й и  $j$ -й линий нулевого уровня, причем если таких точек несколько, возьмем  $k$ -ю из них. Таким образом, алгоритм распределяется на несколько нитей, каждая из которых задается девяткой индексов  $(i_{xy}, j_{xy}, k_{xy}, i_{yz}, j_{yz}, k_{yz}, i_{zx}, j_{zx}, k_{zx})$  и работает так: зафиксируем поочередно все допустимые значения индексов и для каждой выбранной девятки обновим координаты  $x$  (при заданных  $y, z$ ),  $y$  (при новом  $x$  и заданном  $z$ ) и  $z$  (при новых  $x, y$ ), выбрав  $k$ -ю по порядку точку пересечения линий  $\{F_i = 0\}$  и  $\{F_j = 0\}$ . Ожидается, что в некоторых нитях алгоритм сойдется к корню системы. Начальные нити задаются девятками  $(i_1, j_1, 1, i_2, j_2, 1, i_3, j_3, 1)$ , где  $i_s, j_s \in \{1, 2, 3\}$ ,  $i_s \neq j_s$ . Любая нить может создать новую нить, если число точек пересечения в каком-нибудь сечении превзойдет текущее число значений индексов. Отметим, что в частном случае линейной системы точек попарного пересечения в любом сечении будет 3, поэтому новые нити порождаться не будут. В нелинейном случае алгоритм будет ветвиться, но все ветвления будут сгруппированы по номеру точки пересечения линий нулевого уровня. Таким образом, алгоритм генерирует не дерево, а несколько (проиндексированных) последовательностей приближений.

Двумерная задача нахождения всех точек пересечения линий уровня двух монотонных функций  $f_1(x, y)$ ,  $f_2(x, y)$  решается методом переменных направлений: при фиксированном  $x$  находим  $y$  (методом бисекций), при котором  $f_1(x, y) = 0$  либо  $f_2(x, y) = 0$ . Далее аналогичным образом находим  $x$ . Выбор функции зависит от знаков  $f_1$  и  $f_2$  в текущем приближении и от выбранного направления движения —  $x \uparrow y \downarrow$  либо  $x \downarrow y \uparrow$ . Таким образом, генерируется монотонная последовательность приближений, и итерационный процесс останавливается, когда по крайней мере одна из координат превзойдет по модулю заданное достаточно большое число.

### 3. ПРИМЕРЫ

Описанный алгоритм реализован в среде Octave, с программной реализацией можно ознакомиться по ссылке <https://github.com/lapkin25/nonlinear-monot>.

В качестве примера рассмотрим линейную систему с левыми частями:

$$F_1(x, y, z) = 3x + 1.5y + z - 10,$$

$$F_2(x, y, z) = 0.5x + 3y + z - 15,$$

$$F_3(x, y, z) = 2x + 0.2y + z - 10.$$

Алгоритм сгенерировал 27 последовательностей приближений, и 11 из них сходятся к корню. Таблица 1 содержит значения минимума по всем нитям величины невязки  $\max_j |F_j|$  на каждой итерации алгоритма. Сходимость имеет скорость геометрической прогрессии: величина невязки на каждой итерации уменьшается более чем вдвое.

Далее рассмотрим пример нелинейной системы с левыми частями:

$$F_1(x, y, z) = 3x + 1.5y + z - 10,$$

$$F_2(x, y, z) = 0.5x + 3y + z - 15,$$

$$F_3(x, y, z) = 15((x + 10)^2 \cdot \text{sign}(x + 10)/100 + (y + 10)^2 \cdot \text{sign}(y + 10)/100) + z - 50.$$

Номер итерации	Невязка
1	3.864
2	1.480
3	0.567
4	0.143
5	0.024
6	0.002

ТАБЛИЦА 1. Динамика изменения невязки.

На рис. 1 изображены поверхности нулевого уровня функций  $F_j$ . Можно видеть, что все три поверхности пересекаются одновременно в трех точках:  $(0.72, 4.54, 0.99)$ ,  $(-8.08, -10.13, 49.45)$  и  $(-18.49, -27.49, 106.72)$ . За 5 итераций алгоритм при заданных параметрах точности и начальном приближении  $(0, 0, -20)$  нашел лишь первый из перечисленных корней, в то время как за 7 итераций алгоритм нашел 3 корня и в процессе вычислений создал 185 нитей, в 4 из которых невязка оказалась меньше 0.01.

В таблице 2 представлена статистика сходимости алгоритма. В столбце «Невязка» перечислены наилучшие значения невязки для каждого из найденных корней (один и тот же корень может быть найден несколькими нитями). В столбце «Число нитей» указано число нитей по окончании соответствующей итерации. При этом статистика сходимости может зависеть от задаваемых параметров допустимой точности. Увеличение невязки связано с нахождением близких корней в разных нитях, из которых алгоритм оставляет один, невязка на котором не превосходит заданного порога.

Номер итерации	Невязка	Число нитей
1		31
2		41
3		64
4	0.004; 0.003	83
5	0.005	116
6	0.002; 0.002; 0.002	158
7	0.004; 0.003; 0.002	185

ТАБЛИЦА 2. Статистика сходимости.

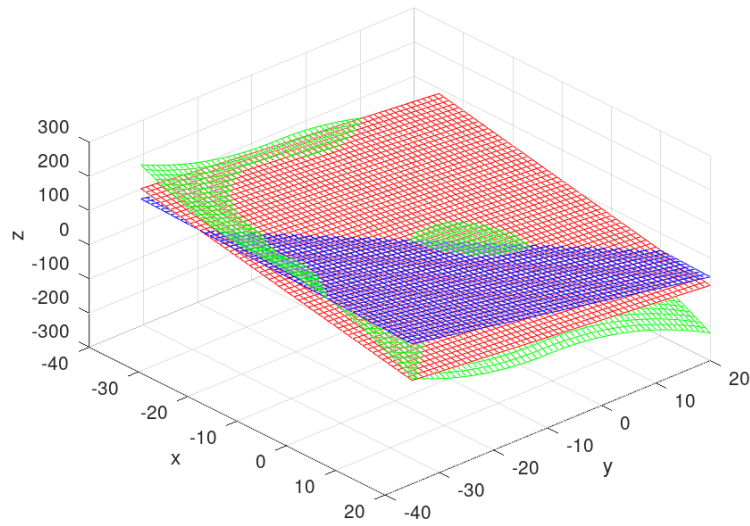
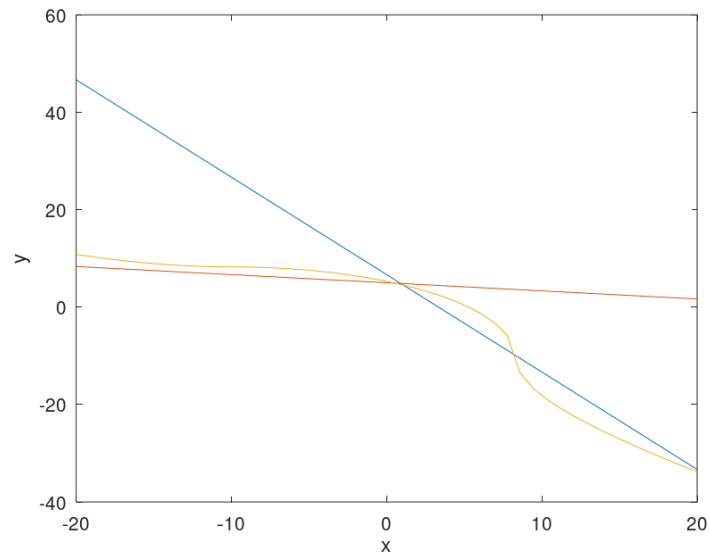
На рис. 2 показаны линии нулевого уровня функций  $F_j$  в сечении  $xy$  с начальным приближением  $(0, 0, 0)$ . Можно видеть, что одна пара линий уровня пересекается в трех точках — это означает, что алгоритм, запущенный только для нитей с  $k = 1$ , создаст для каждой такой нити еще две нити, поменяв  $k$  на  $k = 2$  и  $k = 3$ , и положив новые приближения в этих нитях равным  $(x, 0, 0)$ , где  $x$  — координата точки пересечения линий уровня в сечении  $xy$ .

Наконец, рассмотрим пример системы с большим числом корней (см. рис. 3):

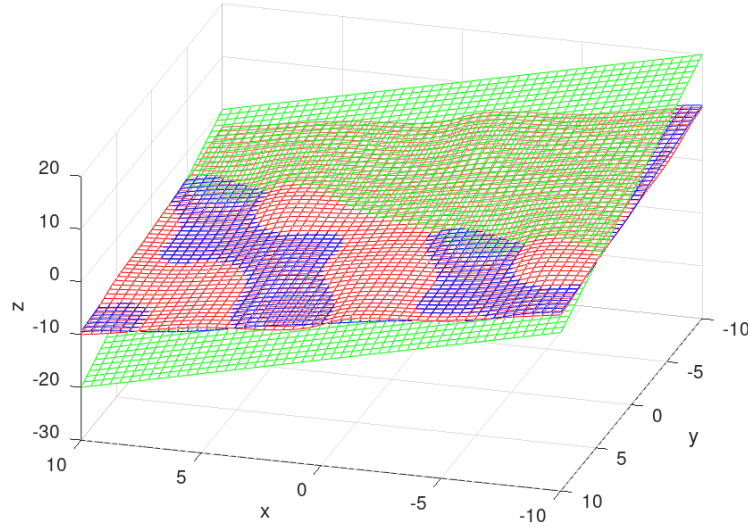
$$F_1(x, y, z) = x + 0.5 \sin x + 0.5y + 0.25 \sin y + 1.5z + 0.75 \sin z,$$

$$F_2(x, y, z) = x + y + z,$$

$$F_3(x, y, z) = x + 0.3 \cos x + 0.5(y + 0.3 \cos y) + 1.5(z + 0.3 \cos z).$$

Рис. 1. Поверхности нулевого уровня функций  $F_j$ .Рис. 2. Линии нулевого уровня функций  $F_j$  в сечении  $xy$  при  $z = 0$ .

Результаты вычислений зависят от того, в какой области ищется корень. Так, если задать ограничение на поиск корней  $|x_i| \leq 15$ , то после 5 итераций с

Рис. 3. Поверхности нулевого уровня функций  $F_j$ .

начальным приближением  $(0, 0, 0)$  алгоритм находит 5 корней:  $(-1.97, 1.25, 0.71)$ ,  $(6.13, -3.33, -2.79)$ ,  $(-6.42, 2.94, 3.48)$ ,  $(-14.53, 7.52, 7.00)$ ,  $(10.59, -5.02, -5.56)$ .

Чтобы проанализировать работу алгоритма, рассмотрим функции  $x_k^{ij}(z)$ ,  $y_k^{ij}(x)$  и  $z_k^{ij}(y)$ , где первая из них — это  $x$ -координата  $k$ -й точки пересечения кривых  $\{F_i = 0\}$  и  $\{F_j = 0\}$  в сечении  $xy$  при заданном  $z$ , вторая функция —  $y$ -координата точки пересечения тех же кривых в сечении  $yz$ , и третья —  $z$ -координата в сечении  $zx$ . Графики функций  $x_{ij}^k$ ,  $y_{ij}^k$ ,  $z_{ij}^k$  для системы из второго примера изображены на рис. 4–6. Каждому корню соответствует точка пересечения трех линий с разной штриховкой, при этом первый корень соответствует значениям индексов  $i_{xy} = 1, j_{xy} = 2, k_{xy} = 1, i_{yz} = 1, j_{yz} = 3, k_{yz} = 1, i_{zx} = 2, j_{zx} = 3, k_{zx} = 1$ , второй корень —  $i_{xy} = 1, j_{xy} = 2, k_{xy} = 1, i_{yz} = 2, j_{yz} = 3, k_{yz} = 2, i_{zx} = 1, j_{zx} = 3, k_{zx} = 2$ , и третий корень —  $i_{xy} = 2, j_{xy} = 3, k_{xy} = 1, i_{yz} = 1, j_{yz} = 3, k_{yz} = 1, i_{zx} = 1, j_{zx} = 2, k_{zx} = 1$ .

Таким образом, наш алгоритм можно рассматривать как метод переменных направлений для функций  $x_k^{ij}$ ,  $y_k^{ij}$  и  $z_k^{ij}$ . Двигаясь в каждом сечении вдоль выбранной кривой, приходим к одному из корней.

По сравнению с методом ветвей и границ, предложенный метод проигрывает в том, что не дает информации об отсутствии корней в выделенной области. Однако новый алгоритм строит итерационную последовательность, которая сходится к корню менее чем за 10 итераций. Дальнейшие исследования затронутого вопроса могут коснуться построения модификаций предложенного алгоритма, учитывающих возможные отсеечения лишних вычислительных нитей, и реализации параллельного варианта алгоритма.

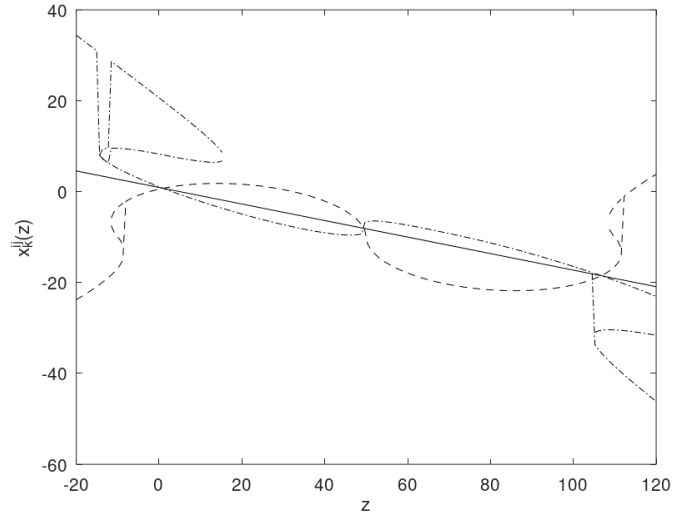


Рис. 4. Графики функций  $x_{ij}^k$  при  $i = 1, j = 2$  (сплошная линия),  $i = 1, j = 3$  (штрих-пунктирная линия) и  $i = 2, j = 3$  (пунктирная линия), где  $k = 1, 2, 3$ .

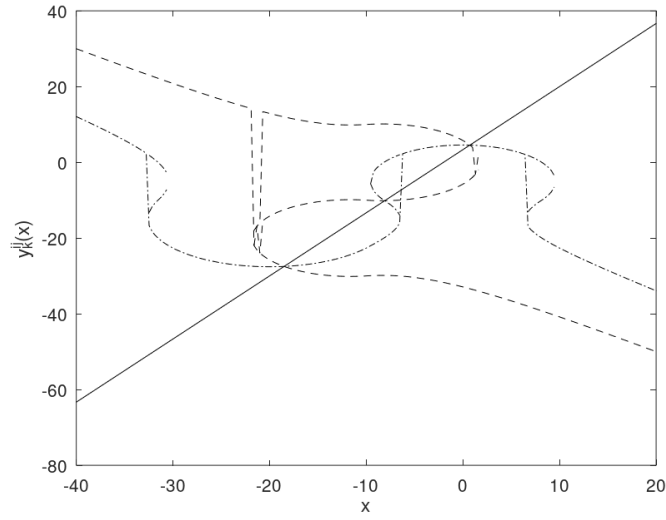


Рис. 5. Графики функций  $y_{ij}^k$  при  $i = 1, j = 2$  (сплошная линия),  $i = 1, j = 3$  (штрих-пунктирная линия) и  $i = 2, j = 3$  (пунктирная линия), где  $k = 1, 2, 3$ .

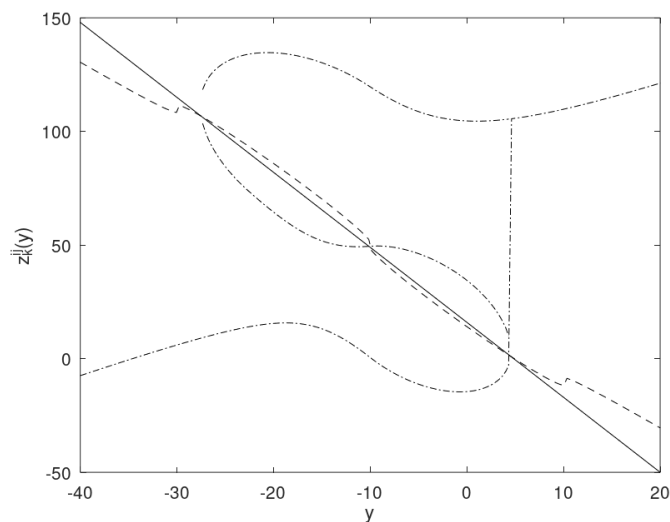


Рис. 6. Графики функций  $z_{ij}^k$  при  $i = 1, j = 2$  (сплошная линия),  $i = 1, j = 3$  (штрих-пунктирная линия) и  $i = 2, j = 3$  (пунктирная линия), где  $k = 1, 2, 3$ .

## REFERENCES

- [1] J. M. Ortega, W. C. Rheinboldt, *Iterative solution of nonlinear equations in several variables*, Academic Press, 1970.
- [2] J. M. Dennis, R. B. Schnabel, *Numerical methods for unconstrained optimization and nonlinear equations*, Prentice-Hall, 1988.
- [3] E. Hansen, G. W. Walster, *Global optimization using interval analysis*, Marcel Decker, 2004.
- [4] K. Goulianas, A. Margaris, M. Adamopoulos, *Finding all real roots of  $3 \times 3$  nonlinear algebraic systems using neural networks*, Appl. Math. Comput. 2013. V. 219. P. 4444–4464.
- [5] V. P. Bulatov, *Numerical methods for finding all real roots of systems of nonlinear equations*, Comput. Math. Math. Phys. 2000. V. 40. N 3. P. 331–338.

GLEB VLADIMIROVICH GRENKIN  
 VLADIVOSTOK STATE UNIVERSITY,  
 UL. GOGOLYA, 41,  
 690014, VLADIVOSTOK, RUSSIA  
 Email address: [Gleb.Grenkin@vvsu.ru](mailto:Gleb.Grenkin@vvsu.ru)